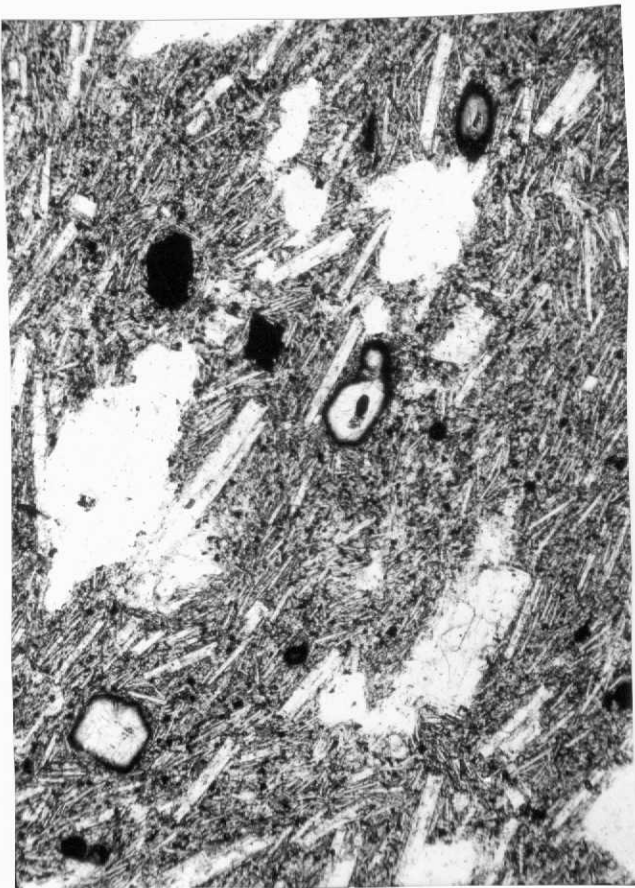


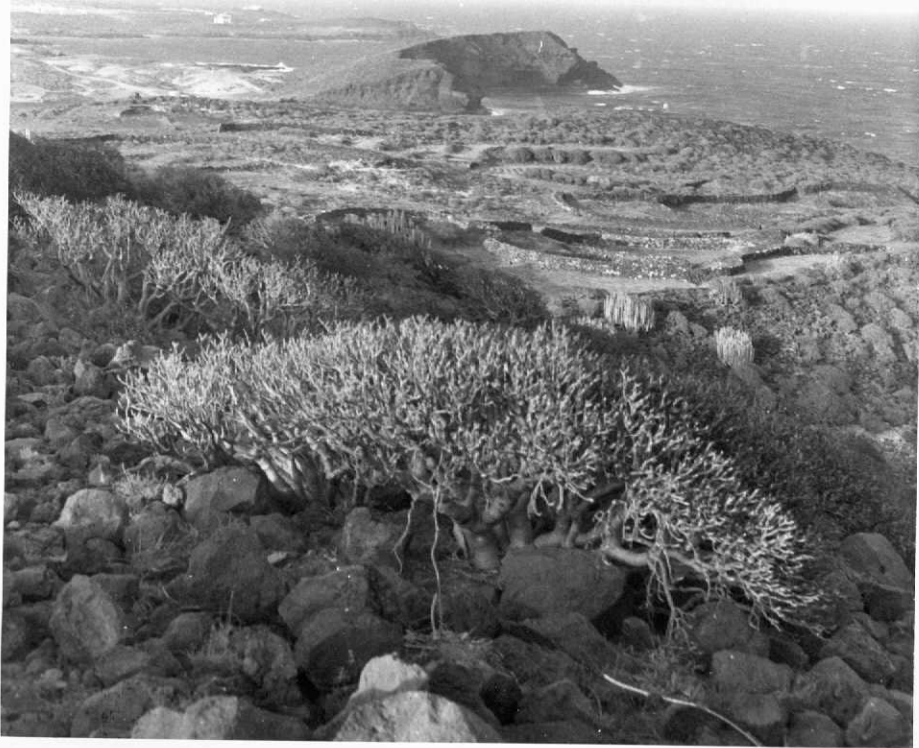
Hoja Geológica, Escala 1:25.000
Lomo de Arico, nº 3941-4

3941-AD-HP-203.- Fonolita nefelínica. Los cristales de nefelina están enmarcados por la augita egirínica (x 10).



Hoja Geológica, Escala 1:25.000
Lomo de Arico, nº 3941-4

3941-AD-HP-342.- Fonolita hauynica. Aspecto general de la textura con tres microfenocristales de hauyna en los que se aprecia un borde de transformación a opacos (x 25).



3941-AD-HP-355.- Punta de Abades desde Los Moriscos.



3941-AD-HP-356.- Barranco de Los Caballos. Aspecto de las
ignimbritas. Al fondo el pueblo de Lomo
de Arico.



3941-AD-HP-357.- Aspecto de la disyunción paralelipipédica
de las ignimbritas del Bco. Ovejeros des
de el Lomo Teguedite.



3941-AD-HP-358.- Aspecto de la disyunción paralelepípedica
de las ignimbritas del Bco. Ovejeros des
de el Lomo Teguedite.



3941-AD-HP-359.- El Poris de Abona visto desde la Punta.

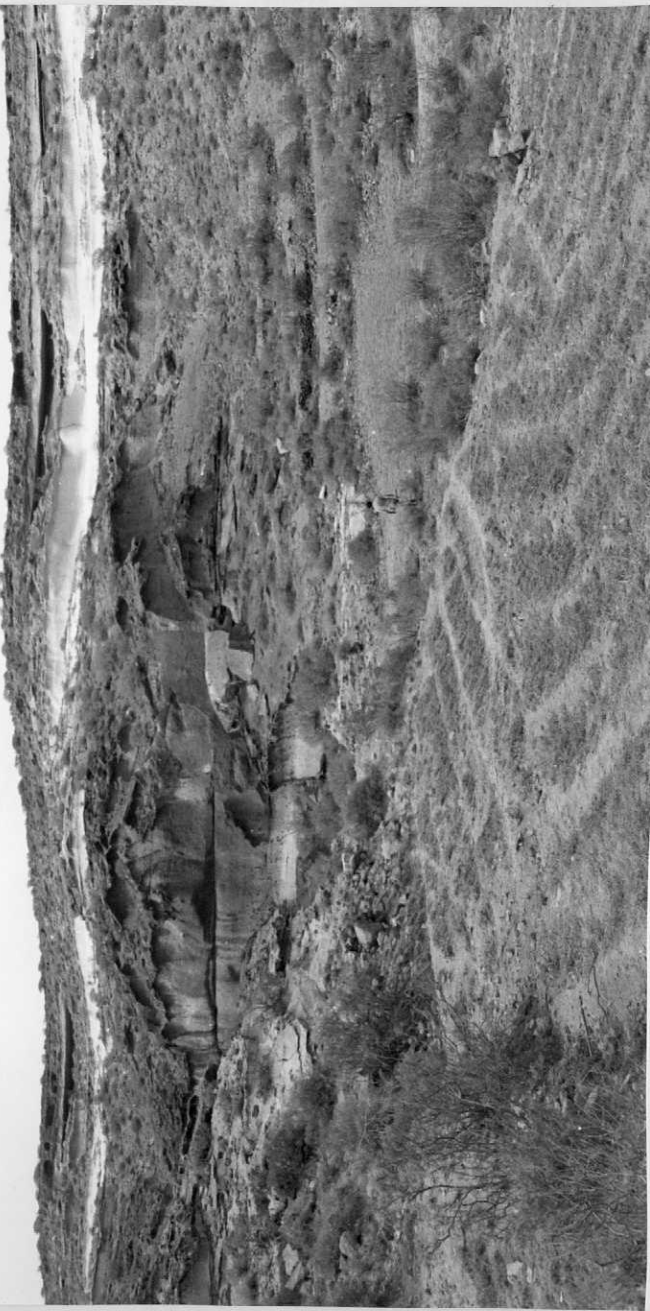


3941-AD-HP-360.- Canteras de "tosca" (tobas pumíticas sálicas) en la Montaña del Puerto.

3941-AD-HP-361.- Detalle ignimbritas. Inmediaciones de

Cueva Honda.





3941-AD-HP-362.- Niveles de ignimbritas debajo de las tobas en las inmediaciones de Cueva Honda.



3941-AD-HP-363.- Depósitos de pomez en Punta Negra.

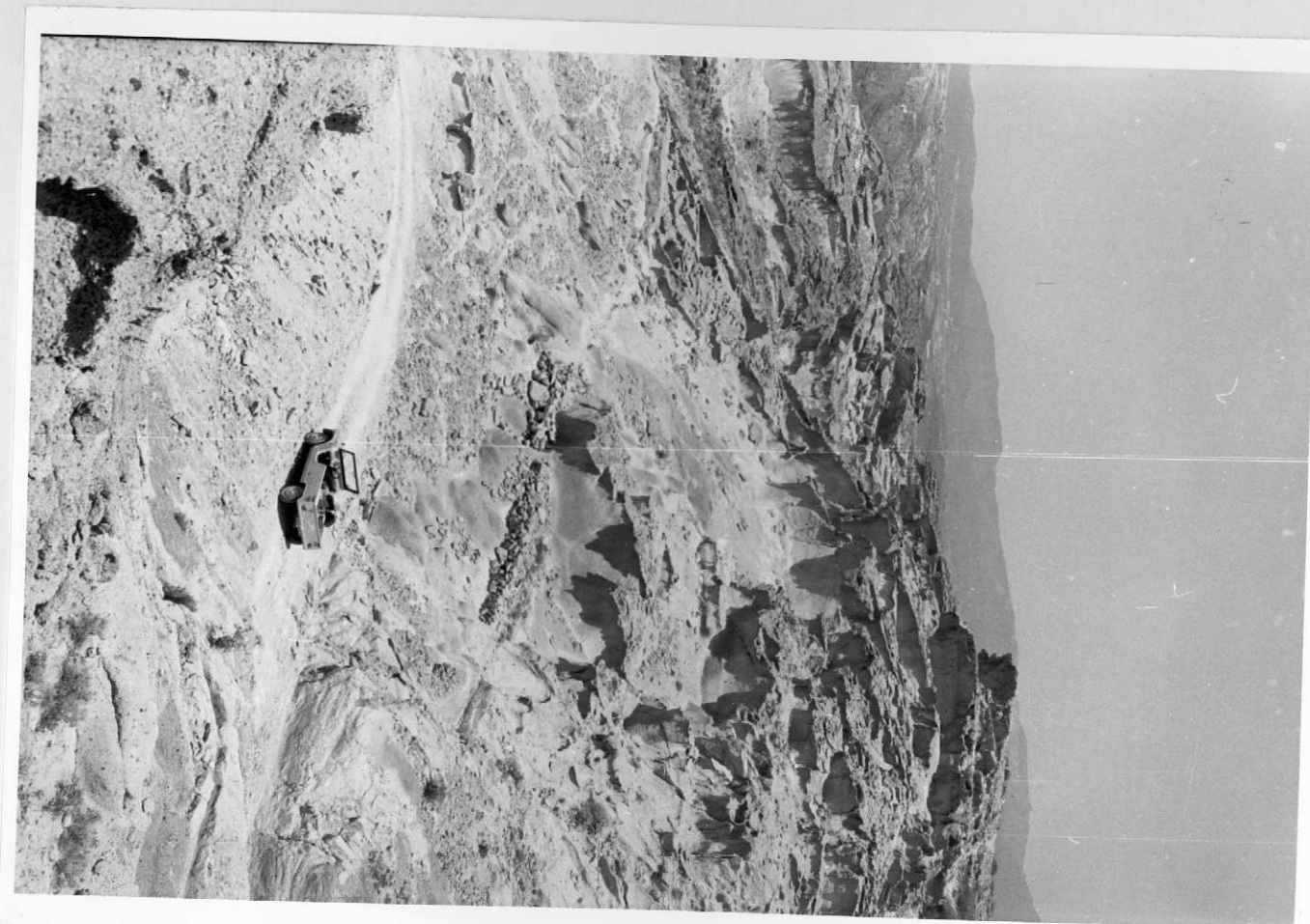


3941-AD-HP-364.- Niveles de tobas tefríticas en las inmediaciones de Cueva Honda.



3941-AD-HP-365.- Desde los Lomos de Ifara. Vista del Bco.
de Las Monjas. Discordancias en las tobas
pumíticas sálicas con cantos sieníticos.

3941-AD-HP-366.- Niveles de pomez en Los Desriscaderos.





3941-AD-HP-367.- Erosión característica en las tobas sálicas en el Bco. de Las Monjas.